

人工降雨入滲 資料的分析研究

交通部公路科学研究所
田剑影 編著

人民交通出版社

人工降雨入像 資料的分析研究

中國科學院氣象研究所
周國謙 楊曉

中國科學院氣象研究所

人工降雨入渗資料的分析研究

交通部公路科学研究所

田剑影 編著

*

人民交通出版社出版

(北京安定門外和平里)

北京市審刊出版業營業許可證出字第〇〇六号

新华书店发行

人民交通出版社印制 印刷

*

1960年3月北京第一版 1960年3月北京第一次印刷

开本：787×1092毫米 印张：1 页数：4

全书：18,000 字 印数：1—2,000 册

统一书号：16044·2040

定价（10）：0.21元

目 录

前 言	2
一、資料情況	3
二、入滲資料的整理	5
1. 整理資料的方法	5
2. 土壤种类的划分	6
三、人工降雨入滲資料的分析	6
四、平均入滲累積曲線的繪制	12
五、几点建議	13
參考文獻	15

附表(1)(2): 人工降雨土壤入滲資料簡明表

- 附圖 1. 北方地區土壤入滲量與含沙率關係曲線
2. 南方地區土壤入滲量與含沙率關係曲線
3. 第四類土壤(南方) $\frac{\text{入滲量}}{\text{雨強}}$ 與降雨強度的關係圖
4. 第五類土壤(南方) $\frac{\text{入滲量}}{\text{雨強}}$ 與降雨強度的關係圖
5. 第六類土壤(南方) $\frac{\text{入滲量}}{\text{雨強}}$ 與降雨強度的關係圖
6. 南方地區含水率對入滲影響的關係圖
7. 第四類土壤(四川重慶)土壤入滲過程線
8. 南方地區土壤平均入滲曲線
9. 北方地區土壤平均入滲曲線
10. 蘇聯 H. H. 柴可達也夫與 J. T. 貝欽可娃平均入滲曲線與我國南、北方地區平均入滲曲線比較圖

前 言

为了制定我国的小流域地面逕流标准，去年，我們曾对暴雨分区逕流简化公式等专题进行了研究，取得了初步的成果。今年我們为了制定各分区的面逕流厚度，曾对土壤入渗损失进行收集資料和分析研究。

在鐵道部鐵道科学研究院，各鐵道設計院工作同志的大力协作下，我們收集到了一些人工降雨土壤入渗試驗資料。根据这些資料，繪制了南北两个区的土壤平均入渗累积曲綫，初步提出来供公路鐵路及其他方面標涵水文工作者的参考。

因为我們的工作經驗不多，理論水平較低，分析能力較差，所以錯誤在所难免，还請各方面的专家們提出指正。

本研究专题是在公路科学研究院甘城道工程师領導和鐵道科学研究院水工水文研究室徐在庸工程师、黃文俊同志的指导下进行的，最后又請徐在庸工程师校审，提出不少寶貴意見，特此致謝。

田劍影

一、資料情況

計算小流域暴雨地面逕流，其主要依據，是降雨、土壤入滲以及流域地理特性等因素，在這些因素中，決定降雨條件可根據現有雨量資料來進行分析。在這方面我們已進行了一些工作，初步制定了全國的暴雨分區圖和各區的降雨量—歷時—重現期曲線等，流域特性是由其地理位置及幾何形狀所決定。因此剩下一個很重要而沒有完全解決的問題，就是土壤入滲損失量的決定，而這一部分，在逕流形成過程中占有降雨量的很大部分，有時甚至達到一半以上。

一九五七年鐵道科學研究院在北碚逕流實驗站作了人工降雨試驗，其資料及分析結果刊載在“小流域暴雨地面逕流之研究（三）”上。鑑於今年人工降雨入滲試驗資料比去年又增多，同時為了及時滿足生產單位的需要，早日制定出計算設計流量的逕流厚度表，於是我們對各單位試驗的人工降雨資料進行整理及分析工作，制定出土壤平均入滲累積曲線，提供設計時應用。

我們收集的資料有鐵道科學研究院北碚逕流實驗站人工降雨入滲資料111個，選用了其中89個，鐵道部第一設計院在西北地區的入滲試驗資料119個，鐵道部第四設計院在中南、华东地區的入滲試驗資料48個，鐵道部第三設計院試驗資料3個，還有水利電力部太原逕流實驗站的入滲資料，并在這次整理時對太原逕流實驗站的土壤入滲資料僅作為參攷，因它沒有每一次試驗的土壤含沙率，仅有若干次試驗的平均含沙率。以上

試驗資料分为南北两个地区，詳見人工降雨土壤入滲資料簡明表（附表 1 及附表 2）。

这些資料包括：隨時間变化的入滲量，以及土壤的物理特征、比重、容重、机械組成等，还有降雨强度和降雨历时。在鐵道部第一設計院的資料中，还有試驗場地坡度、高程等的数据。在这些試驗資料中，几个主要特征的变化范围如下：

北方地区：降雨历时： 100~500分鐘
平均雨强： 0.80~2.90毫米/分鐘

含沙百分率： 9~99.9%

試驗前土壤含水率： 1~30.8%

試驗后土壤含水率： 9.8~40.1%

南方地区：降雨历时： 128~428分鐘
平均强度： 0.39~2.57毫米/分鐘

含沙百分率： 6.0~95.0%

試驗前土壤含水率： 3.3~37.4%

試驗后土壤含水率： 10.4~34.5%

由于資料为数不多，包括得还不全面，还不能把区域分得很細来进行整理；目前祇能概括地分为南北两区。我們現把北溝逕流實驗站的資料和鐵道部第四設計院的資料合併起来加以整理，作为我国南方地区的資料。（該地区包括中国暴雨分区图（已出版）：第 4、5、6、7、8、9、10、11、12区），应用于南方地区。把鐵道部第一設計院、第三設計院及太原逕流站的人工降雨入滲資料合併加以整理，作为北方地区（包括中国暴雨分区图第 1、2、3、13、14、15、16、17、18区），应用于北方地区。这样作法主要是为了滿足生产方面的急迫需要，待今后資料积累更多之后，再詳加分区整理。

分区采用資料情況：共收集到試驗資料278个：南方地圖

2. 土壤种类的划分：

土壤分类根据需要不同，分法极多，一般则以砂粒、粉土粒、粘土粒三者来区分土壤，如苏联道路工程手册1953年版中所建议的土壤分类，把土壤分为九类，M.M费拉托夫在道路土壤概论中根据土壤颗粒组成把土壤分为21类。还有许多其他各种分法，我们主要根据影响土壤入渗的主要因素、土壤的含砂率为准，以H.H.戚戈戴夫著“小流域迳流计算细则”图111为基本依据，把土壤分成六类，例如表1：

表1

类别	土壤名称	含砂率%
I	混凝土上、冻土、无裂隙岩石	0~3
II	粘土、肥沃粘壤土、龟裂土、盐土和碱土	3~13
III	灰化土、肥沃黑土、沙粘土、灰色森林土	13~30
IV	黑土、灰化沙土、栗色生草粘沙土	30~63
V	粘沙土、轻灰化土	63~83
VI	沙	83~100

注：粘壤土为新土质炉堆。

三、人工降雨入渗资料的分析

雨水自地表进入土中，并在土中运动，这个现象我们称之为入渗。入渗过程可以分为两个阶段，即渗漏与渗透两阶段：渗漏阶段的特征为不稳定流。又因其分子力占主导作用时称为吸水时段，在重力作用占优势时称为渗漏阶段，该阶段水利部

門又稱為初損階段。滲透階段的特徵為穩定流，土壤吸水符合達西定律，該段水利部門稱為穩損階段。如下圖：

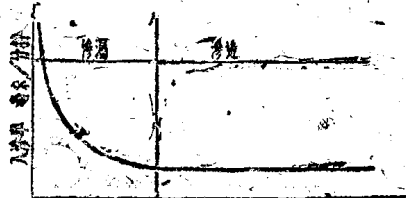
從降雨強度和入滲率的相對大小來說，又可分為自由入滲（降雨強度小於入滲率）和壓力入滲（雨強大於入滲率）。

在入滲過程中，水的運動是在複雜的土壤—水—空氣三相系統中交互作用下發生的，因此我們現

在來分別研究土壤問題、降雨問題及入滲隨時間的變化規律。

土壤特徵是被它的機械組成與其結構構成的孔隙及比重、容重所表徵。土壤吸水性以其物理性質：含水率、滲透性、毛細管上升高度等因素表徵。對我們橋樑水文計算方面來說，在現有情況下，土壤特徵我們用土壤分類來表徵；而土壤種類，我們又用含沙率來表徵。

我們將各時段的入滲量 $h_{10}; h_{80}; h_{60}; h_{120} \dots h_{300}$ 作為縱座標，再以含沙率百分數 D 作為橫座標，分別作出關係圖，從圖中可以看出， h 與 D 有着一定的相關關係，雖然它們相關不夠密切，但在現階段上，現有資料情況下，我們作出其相關關係，對實用來說還是必要的。從圖中可以看出，其關係大致為某一個次拋物線，又因從實測點子的分布情勢來看，該拋物線的起點並不是從零點開始，而是從某一個定值起始，這一現象我們認為是符合實際的，因為當含沙率為零，全部是粘土時，由於粘粒的物理化學等性質以及團粒等作用，是有一定的入滲量的，因此我們採用下列方程式：



$$h = mD^n + b \dots \dots \dots \dots \dots \dots \quad (3)$$

用相关的方法并参考文献的試驗参数数据，确定出公式中的 m 、 n 及 b ，我們以 h_{60} 为分析对象，得到公式：

$$\text{南方地区: } h = 0.00856 D^2 + 6.2 \dots \dots \dots \dots \dots \dots \quad (4)$$

$$\text{北方地区: } h = 0.00725 D^2 + 24.6 \dots \dots \dots \dots \dots \dots \quad (5)$$

然后把这个公式計算的数值繪入 $h_{60} = f(D)$ 的图中，如图 1、2 可以看出每一类土壤的平均 h 值，均在此線的左右两侧摆动，說明曲線还是代表一定的規律。

于是我們即連續作出 h_{10} ; h_{80} ; $h_{60} \dots \dots \dots h_{300}$ 的相关关系：

(見表 2)

表 2

南方 地 区 :	北 方 地 区 :
$h_{10} = 0.00169 D^2 + 4.5$	$h_{10} = 0.00138 D^2 + 8.6$
$h_{80} = 0.00475 D^2 + 5.1$	$h_{80} = 0.0038 D^2 + 16.6$
$h_{120} = 0.0152 D^2 + 5.2$	$h_{120} = 0.0133 D^2 + 39.2$
$h_{240} = 0.0288 D^2 - 10.0$	$h_{240} = 0.0245 D^2 + 58.7$
$h_{300} = 0.0337 D^2 - 10.0$	

我們分析南方地区时，采用先固定 b 为一定值 $b = 10.0$ ，然后再設 m 等于 $m_1 t^\alpha$ ，于是列表如次（表 3）：

表 3

t	10 ^f	30 ^f	60 ^f	120 ^f	240 ^f	300 ^f
m	0.00169	0.00475	0.00856	0.0152	0.0288	0.0337

把它們点繪在对数格紙上，繪成一根直線（因为固定了 b 值的关系，所以关系并不太好），求得参数 m_1 、 α 值，于是得

到下式：

$$h = 0.00047 D^{2.70.7} + 10 \dots \dots \dots \dots \dots \quad (6)$$

在我們分析北方地区的入滲資料時，發現固定 b 值是不妥當的，因為土壤入滲在不同時段，它的 b 值也是不同的。否則就會發生以下現象：時段小於 60' 的入滲量， h_{10} 、 h_{30} 曲線會偏高，而大於 80' 的 h_{120} 、 h_{180} 、 h_{300} 曲線就顯得偏低。因此我們採用了不固定 b 值，同樣設：

$$m = m_1 i^\alpha \quad \text{求得下式：}$$

$$h = 0.00017 D^2 i^{0.9} + k \dots \dots \dots \dots \dots \quad (7)$$

k 值見表 4。

表 4

	10'	30'	60'	120'	180'	240'
k	8.6	16.8	25.0	39.0	46.7	56.7

上式 i 的指數 α 值，根據 A.H. 攝斯加可夫的意見， α 變化於 0.3 到 0.7 之間，我們的北方地區的 α 值為 0.9、超過 0.8，這可能與選取 D 的指數 n 有關。我們分別用圖解找出各時段的 n 值（表 5）來，我們最後選用的 $n = 2$ ，這就影響到 $m = f(i)$ ，曲線變陡而加大了 α 值。因此今后似應注意這種現象。

表 5

	30'	60'	120'	180'	240'
n	1.64	1.72	1.84	2.1	2.86

总的說來，資料的平均值與我們所選定的關係曲線符合較好，但是也有許多個別資料相差幾倍。我們以 h_{60} 為分析的對

1.4: 1.0 即說明在充分供水時，其入滲值約大40%，也就是說在降雨強度很大時，其入滲值也會顯著的增加，這一點可用 G.A. 阿列克賽也夫—A.H. 布達戈夫斯基等理論來說明。因此，我們把降雨強度作為影響入滲的一個因素是必要的。於是我們採用了下式，進行分析研究。

$$\frac{h_{\text{試}}}{h_{\text{經}}} = f(a) \dots \dots \dots \dots \dots \dots \quad (8)$$

$\frac{h_{\text{試}}}{h_{\text{經}}}$ 與降雨強度的關係如圖 3、4、5 所示。

同時並分別以各種土壤種類進行單獨的比較，得到下列的 IV、V、VI 各土壤的經驗相關關係如下（表 6）：

表 6

南方地區：			北方地區：		
土壤種類	4	$h_{\text{試}}/h_{\text{經}} = 0.66a$	5	$h_{\text{試}}/h_{\text{經}} = 0.49a$	$h_{\text{試}}/h_{\text{經}} = 0.55a$
	5	$h_{\text{試}}/h_{\text{經}} = 0.69a$			$h_{\text{試}}/h_{\text{經}} = 0.57a$
	6	$h_{\text{試}}/h_{\text{經}} = 0.78a$			

式中降雨強度 a 的指數應該是小於 1 的數值，由於資料不夠充足，作為初步的定量用一次方還是可以的，並不妨礙其精確性，並考慮到當 a 的指數小於 1 時，勢必增加工程技術人員的計算工作量，因此我們採用 a 的指數等於 1。於是得到下列諸式（見表 7）。

其次我們再來研究含水率對入滲的影響，從公式 (8) 可以看出，當 $(\omega - \omega_0)$ 大時，則 i 值亦隨之增大， $(\omega - \omega_0)$ 小時，則 i 值亦隨之減少，因此研究土壤的含水率是非常必要的。於是

表 7

土壤种类	南方地区：	北方地区：
4	$h = [0.00047D^2t^{0.7} + 10] \times 0.86a$	$h = [0.00017D^2t^{0.8} + K] \times 0.48a$
5	$h = [0.00047D^2t^{0.7} + 10] \times 0.67a$	$h = [0.00017D^2t^{0.8} + K] \times 0.55a$
6	$h = [0.00047D^2t^{0.7} + 10] \times 0.73a$	$h = [0.00017D^2t^{0.8} + K] \times 0.67a$

我們用 $\frac{h_{\text{試}}}{h_{\text{經}} f(a)} = f(\omega - \omega_0)$ 的公式形式，但是其結果很難令人滿意，我們繪制出圖六。但由于點據較少，含水率試樣的代表性不夠，不可能找出其經驗關係，因此我們還是粗略的探索了一下，提出非常粗淺的結果作一定性說明。

因時間很緊迫和資料數量較少，對其他各項因素均未進行分析。

四、平均入滲累積曲線的繪制

將已經分析的結果，按土壤分類的含沙率數值分別繪出各類土壤的上下界線的土壤入滲量隨時間變化的關係曲線，用表 7 諸式進行計算，式中的降雨強度 a 值是隨時間變化的，我們採用南方地區的降雨平均強度：60'以前 $a_{60} = 1.2$ ，在 90'內採用 $a_{90} = 1.1$ 。在 120'以內 $a_{120} = 1.0$ 。在 240'以後 $a_{240} = 0.9$ 。（北方地區因氣候複雜，雨強差別很大，故對雨強未詳加考慮）。

同時我們將蘇聯 H.H. 柴可達也夫和 J.T. 貝欽可娃的平均土壤入滲曲線，繪到圖上與我國南方地區和北方地區土壤平均入滲曲線相比較如圖十所示，一般的可認為，蘇聯的曲線比我

們所采用的各类土壤的平均入滲曲線均高，H₁ 及 H₂ 均可達也大的曲線尤甚，这个原因，在很大程度上是由于我国降雨較多，試驗前的含水率也較大，另外我国北方地区曲線大部均高于南方地区曲線，这种現象也是以上原因所引起的。

在苏联道路科学研究院制定的“逕流标准”中曾規定土壤种类，在季候风地区，土壤入滲应降低一类，也就是說減少了入滲，如原来是第三类土壤，而在季候风地区，应按第二类土壤入滲曲線进行設計。这样J.T.貝欽可娃的曲線大部都在我国曲線的下部，而偏于安全，我們的南方、北方地区的曲線，在他們調整範圍的平均位置，这样就可避免以往直接应用苏联入滲平均位置，这样就可避免以往直接应用苏联入滲曲線时，由于提高而发生偏于安全或入滲过大的情况。

从試驗的各类土壤入滲過程看來，每一类土壤的上下变幅都很大，如果在設計線路的个别地区降雨强度很大时，可把該类土壤的入滲曲線提高一类，降雨强度很小的地区可把該类土壤的入滲曲線降低一类。然后再进行設計計算。

五. 几点建議

1. 希望今后在进行道路勘測設計時，試用本報告中的各类土壤平均入滲累积曲線进行水文計算。并驗証其是否合理。
2. 土壤种类的区分，暫用含沙率来鑑別，同时可采用現場簡易測定法确定。
3. 采用这些曲線的同时，如条件許可在各个地区进行洪水調查，以資比較。有条件时，可作人工降雨或同心环入滲試驗來比較。
4. 建議各单位作人工降雨入滲試驗，求得各省的土壤入滲

曲線，對逕流厚度表進行調整及改進。

5. 各部門在使用這些曲線時，可結合當地的土壤性質和名稱，初步得出當地哪些土壤符合於本文的那一類曲線，以便弥补只以含沙率分類的缺陷。

6. 今后應該繼續進行土壤入滲的系統研究，並繼續進行精确的土壤按下滲分類，繼續進行前期含水量的修正和降雨強度的影響等研究工作。